土壌水収支を考慮した集中型 kinematic wave モデルによる農業生産必要水量の推定

京都大学大学院 学生員 〇中山正之 京都大学大学院 学生員 杉本高之 京都大学大学院 正会員 市川 温 京都大学大学院 正会員 堀 智晴 京都大学大学院 正会員 椎葉充晴

### 1. <u>序論</u>

日本の水資源利用の約7割を占める農業用水需要は 近年わずかに減少傾向にあるが、世界各国間での需給 のアンバランスが継続し、食料輸入などが減少した場 合、日本での農業用水需要が高まる可能性がある。

しかし現在、日本において一般的に用いられる農業 用水使用量の算定法は、原単位に基づいた面積ベース の値であり、気象条件・土壌物性に基づいて時々刻々 変化する必要農業用水量の正確な算定は難しい。

本研究では、物理的な機構を考慮した上でのより細かい時間・地域スケールでの農業生産必要水量の推定を目的とし、土壌水収支を考慮した集中型 kinematic wave モデルとタンクモデルを用いて、灌漑期間に圃場に投入する必要のある農業用水量を推定する。

# 2. <u>土壌水収支評価に向けた時間蒸発散量推計モデル</u>の構成

本研究では Penman-Monteith 法を用い、植生および 乱流の効果を考慮しつつ、正味放射量の推定に工夫を 加えることによって、時間単位の可能蒸発散量の計算 を可能にした。

時間単位の正味放射量を推定するため太陽高度 hを



図 2.1 四万十川流域の対象地域

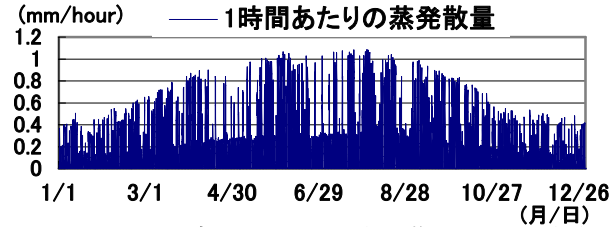


図2.2 2002年窪川における時間蒸発散量の推定値

導入し、太陽定数 $G_{sc}$ と地球と太陽の軌道に関する係数 $d_{r}$ を用いて、大気上端における1分間の水平面日射量 $S_{0 \min}^{0}$ を以下のように表した。

$$S_{0 \text{ min}}^{\downarrow} = G_{\text{sc}} d_{\text{r}} \sinh$$

$$= G_{\text{sc}} d_{\text{r}} \left( \sin \varphi \sin \delta + \cos \varphi \cos \delta \cos \omega \right)$$
(2.1)

さらに日射が0となる時間を場合分けし、 $S_{0 \min}^{\downarrow}$ を1時間あたりで積分し、時間あたりの大気上端における水平面日射量 $S_{0 \hom}^{\downarrow}$ を求めると以下のようになる。

$$S_{0 \text{ hour}}^{\downarrow}(t) = 60 \int_{t-0.5}^{t+0.5} S_{0 \text{ min}}^{\downarrow}(t) dt$$

$$= \begin{cases} 60G_{\text{sc}} d_{\text{r}} \left\{ \sin \varphi \sin \delta + \cos \varphi \cos \delta \left( \sin \omega_{2} - \sin \omega_{1} \right) \right\} (2.2) \\ (t_{\text{sr}} \leq t \leq t_{\text{ss}}) \end{cases}$$

$$0 \quad \left( 0 \leq t < t_{\text{sr}}, t_{\text{ss}} < t < 24 \right)$$

ここで $\mathbf{t}_{\rm sr}$ ,  $\mathbf{t}_{\rm ss}$  は日の出時刻、日没時刻(hour)を表す。本研究では、四万十川流域の高知県窪川町に属し、図 2.1 の灰色メッシュの領域で示される、約  $5\,{\rm km}^2$  の部分流域について灌漑用水量を推定した。また(2.2)式によって  $S_0^{\phantom{\dagger}}$  hour 求め、さらに気象庁より得られる 2002 年の風速,気温,日照時間,気圧,相対湿度の時間データを用いることで、時間当たりの蒸発散量を推定した結果が図 2.2 である。ここで年間の合計蒸発散量の計算結果は  $1059({\rm mm})$ となった。

# 3. <u>圃場容水量を考慮した集中型kinematic waveモデル</u>による畑地灌漑必要水量の推定

図 3.1 は、前章で求めた時間当たりの可能蒸発散量を入力値として、市川ら<sup>1)</sup>による圃場容水量を考慮した集中型kinematic waveモデルを用い、対象とする部分流域の 2002 年の貯留量変化を求めた結果である。

<畑地灌漑ルール>

- 灌漑期間を2002年5月から10月の半年間とする。
- 貯留量が減少し圃場容水量の50%の水量になった時、瞬間的に灌漑を行う。
- 貯留量が圃場容水量になるよう灌漑を行う。ここで上記のような灌漑ルールを設け、シミュレー

キーワード:農業用水,灌漑,土壌水収支,圃場容水量,集中型 kinematic wave モデル,タンクモデル住所:〒606-8501 京都市左京区吉田本町,電話:075-753-5096,ファックス:075-753-4907

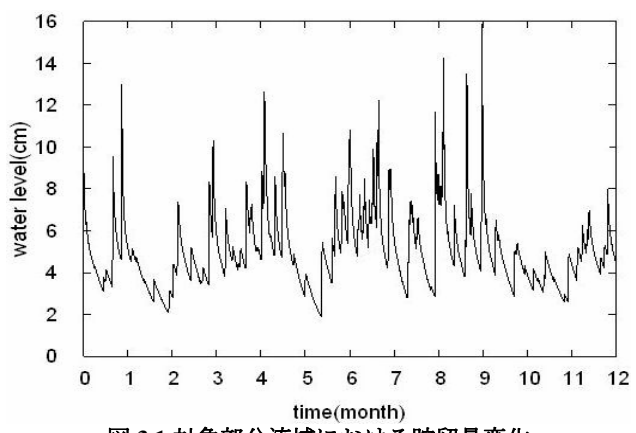
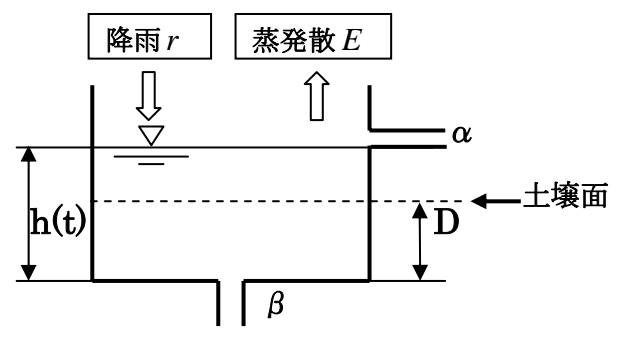


図 3.1 対象部分流域における貯留量変化

ションを行ったところ、灌漑回数は26回となり、合計 灌漑用水投入量は面積当たり1300(mm)となった。

4.  $\underline{g}$ ンクモデルによる水田水収支のモデル化と必要 灌漑水量の推定

ここでは図 4.1 に示されるタンクモデルを用い、水田の水収支をモデル化し、水田の灌漑用水量を求めた。 浸透流出係数  $\beta$  は、一般的な湛水時の水田における 浸透量(20mm/day)  $^{20}$ となるよう設定した。側方流出口は、灌漑期間中に適当な湛水深 $^{30}$ に維持されるよう高



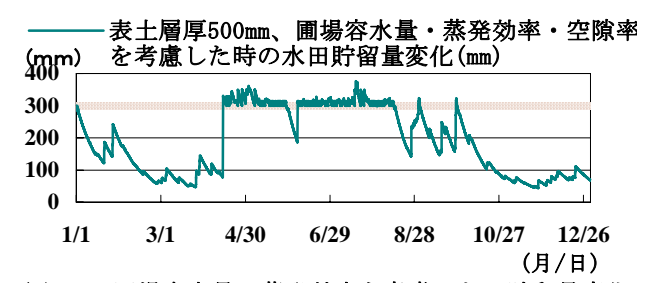
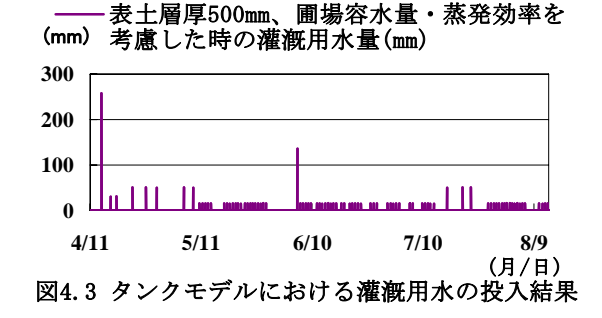


図4.2 圃場容水量・蒸発効率を考慮した田貯留量変化



さを変化させ、 $\alpha$ の値を1とした。

また水位が土壌面以下に減少した際の蒸発散量  $E_w(t)$  は、土壌水分量によって決まるのパラメータ  $\beta_w$  と、前章で求めた可能蒸発散量 E(t) を用いて  $E_w(t) = \beta_w E(t)$  として求めた。

また土粒子に吸着される圃場容水量を(3.1)式で表現している。

$$h = u(h_f) = \begin{cases} h_f + h_c (1 - (\frac{d - h_f}{d})^N)^{1/N} & (0 \le h_f < d) \\ h_f + h_c & (h_f \ge d) \end{cases}$$
(3.1)

ここでh:水深( $\mathbf{m}$ )、 $h_c$ : 圃場容水量に対応する水深( $\mathbf{m}$ )、 $h_f$ : 自由水水量に対応する水深( $\mathbf{m}$ )、N: パラメータ(>1)、d( $=\gamma D$ ): 表土層の空隙部分の深さ( $\mathbf{m}$ )( $\gamma$ : 表土層空隙率、D: 表土層厚( $\mathbf{m}$ ))である。
<水田灌漑ルール>

- 灌漑期間を 2002 年 4 月 15 日から 8 月 14 日とする。
- 貯留量が減少し、水位が土壌面以下となった時に、 適当な湛水深まで瞬間的に灌漑を行う。

上記のような灌漑ルールを設け、灌漑を行った際の 貯留量の時間変化を図 4.2、灌漑用水の投入量を図 4.3 に示した。灌漑期間中は灌漑用水の投入により湛水が 維持され、非灌漑期間には浸透・蒸発散によって貯留 量が減少している。灌漑期間中に投入された合計灌漑 用水量は面積当たり 2014(mm)、4 月中旬に灌漑を開始 する際、必要となる初期用水は 258(mm)となった。

#### 5. 結論

本研究では対象部分流域において、時間当たりの蒸発散量を推計し、次に圃場容水量を考慮した集中型 kinematic wave モデルを用いて畑地灌漑必要水量を、タンクモデルを用いて水田灌漑必要水量を推定した。

今後の課題として、以下のようなものが挙げられる。

- ・ 水田蒸発散量推定に際して、特有の蒸発散機 構を明らかにし、各パラメータを同定する。
- ・ 圃場に投入された灌漑用水のうち、還元水や 地下水となり再び灌漑に寄与する量を考える。

#### 参考文献

- (1) 市川 温:分布型流域流出系モデルの構成と 集中化に関する研究, 2001.
- (2) 山崎耕宇ら: 農学大事典, 養賢堂, p1069, 2004.
- (3) 平成 16 年稲作指導指針(香川)水管理, pp.40-41.